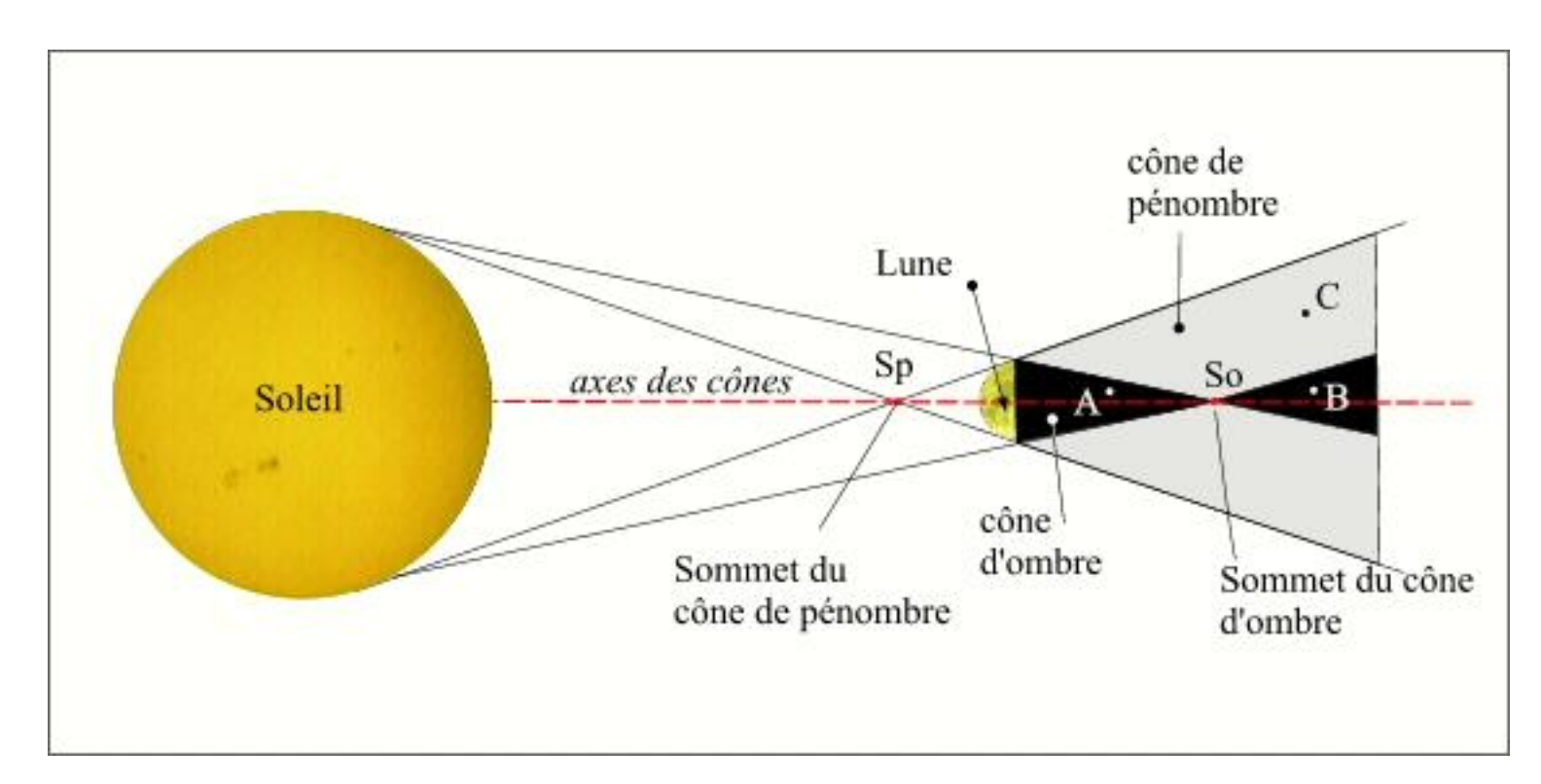


Eclipse totale de Lune du 28 septembre 2015



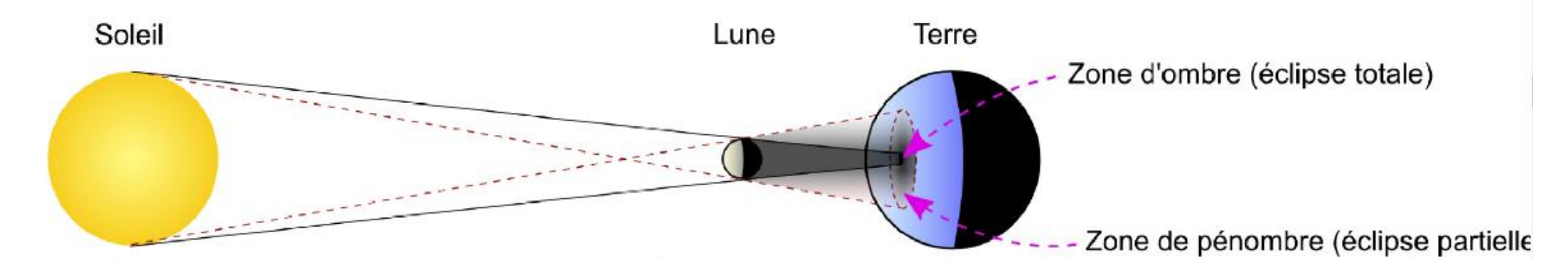
Ombre et pénombre



en A: totale en B: annulaire

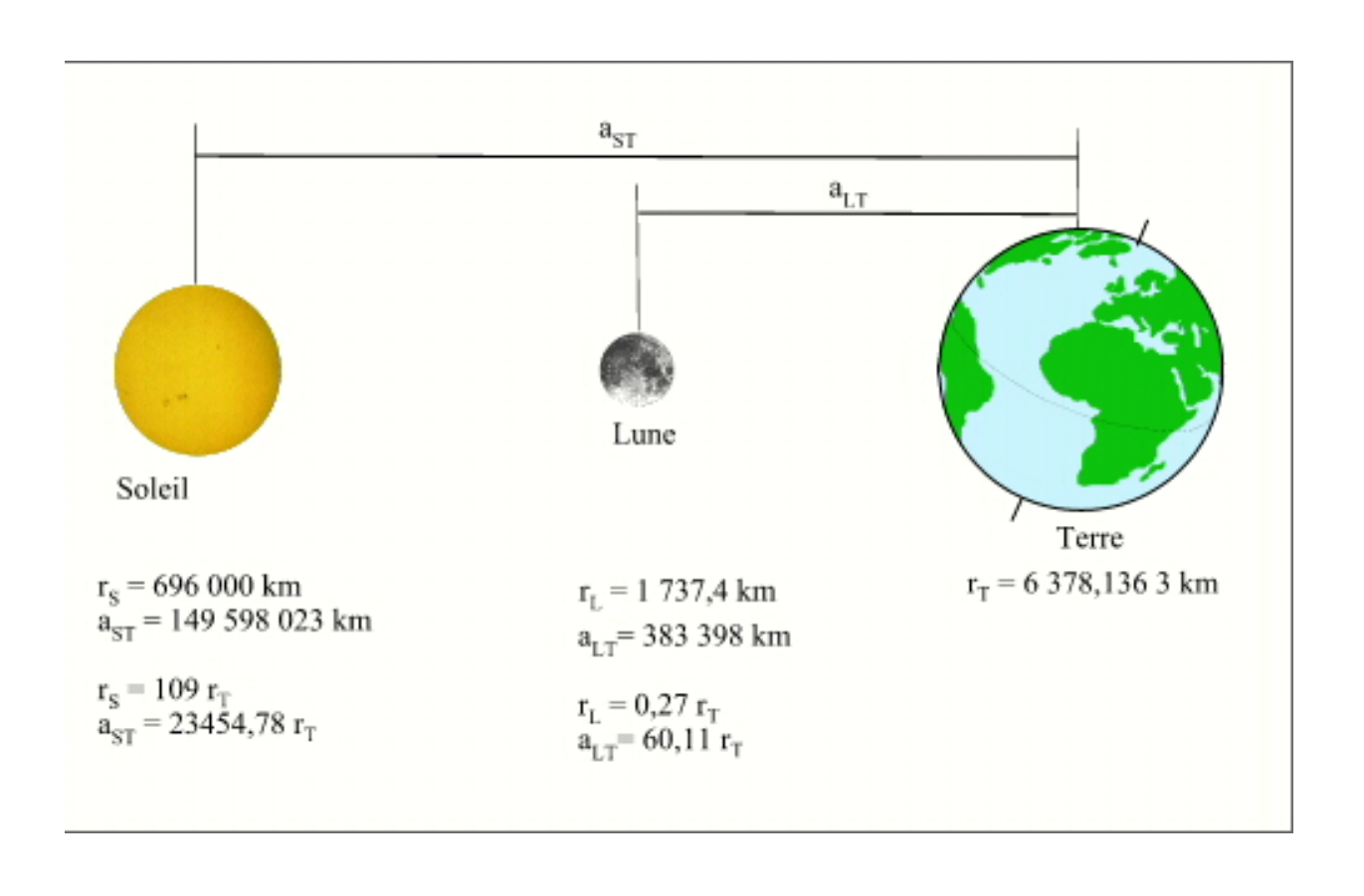
en C: partielle

définies respectivement par les tangentes extérieures et intérieures aux deux astres



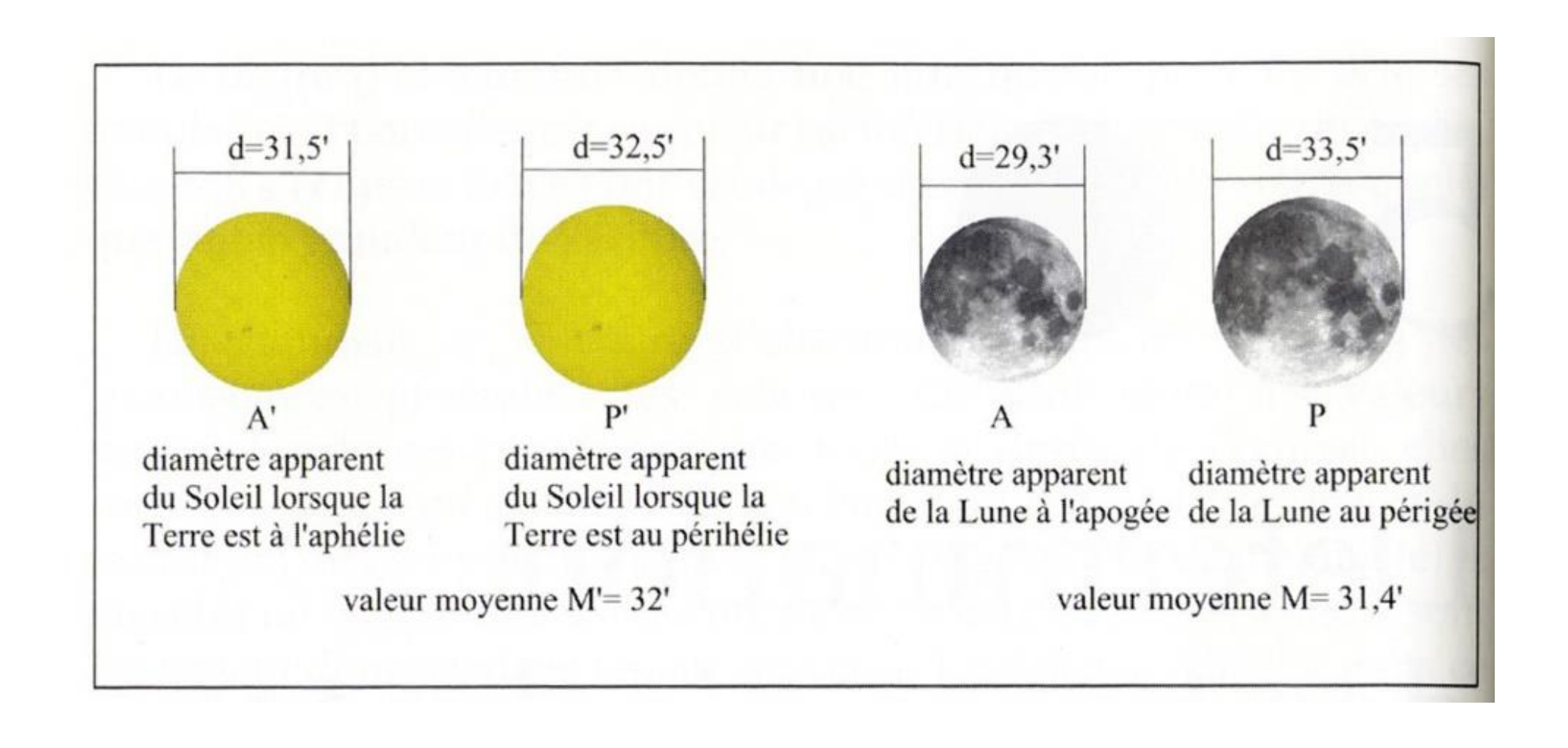


Les dimensions respectives





Les dimensions respectives





Mouvement de la Lune

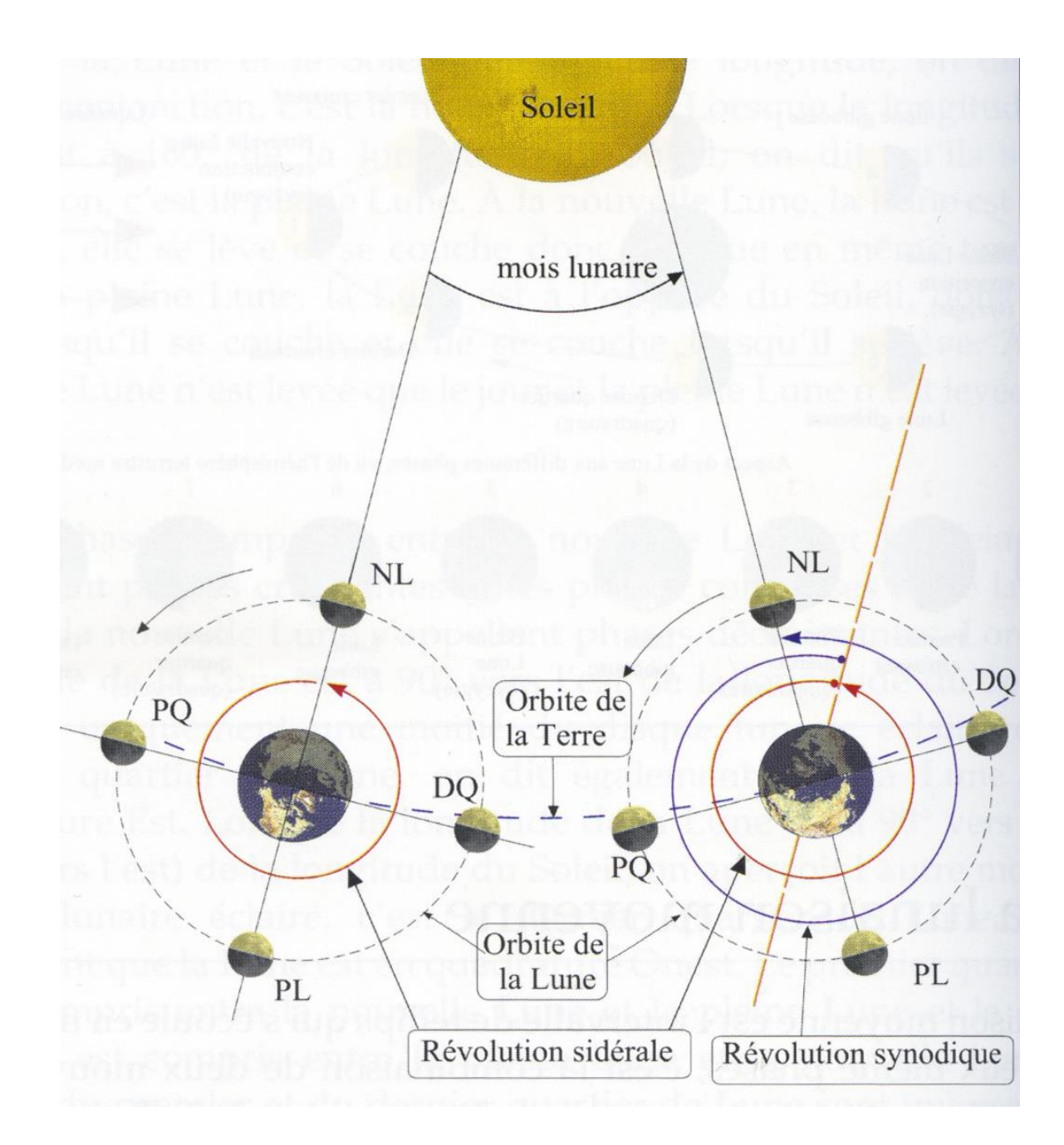
retour à la même phase, plus long que la révolution sidérale, du fait que la Terre se déplace pendant le mois lunaire:

révolution sidérale

de la Lune de la Terre

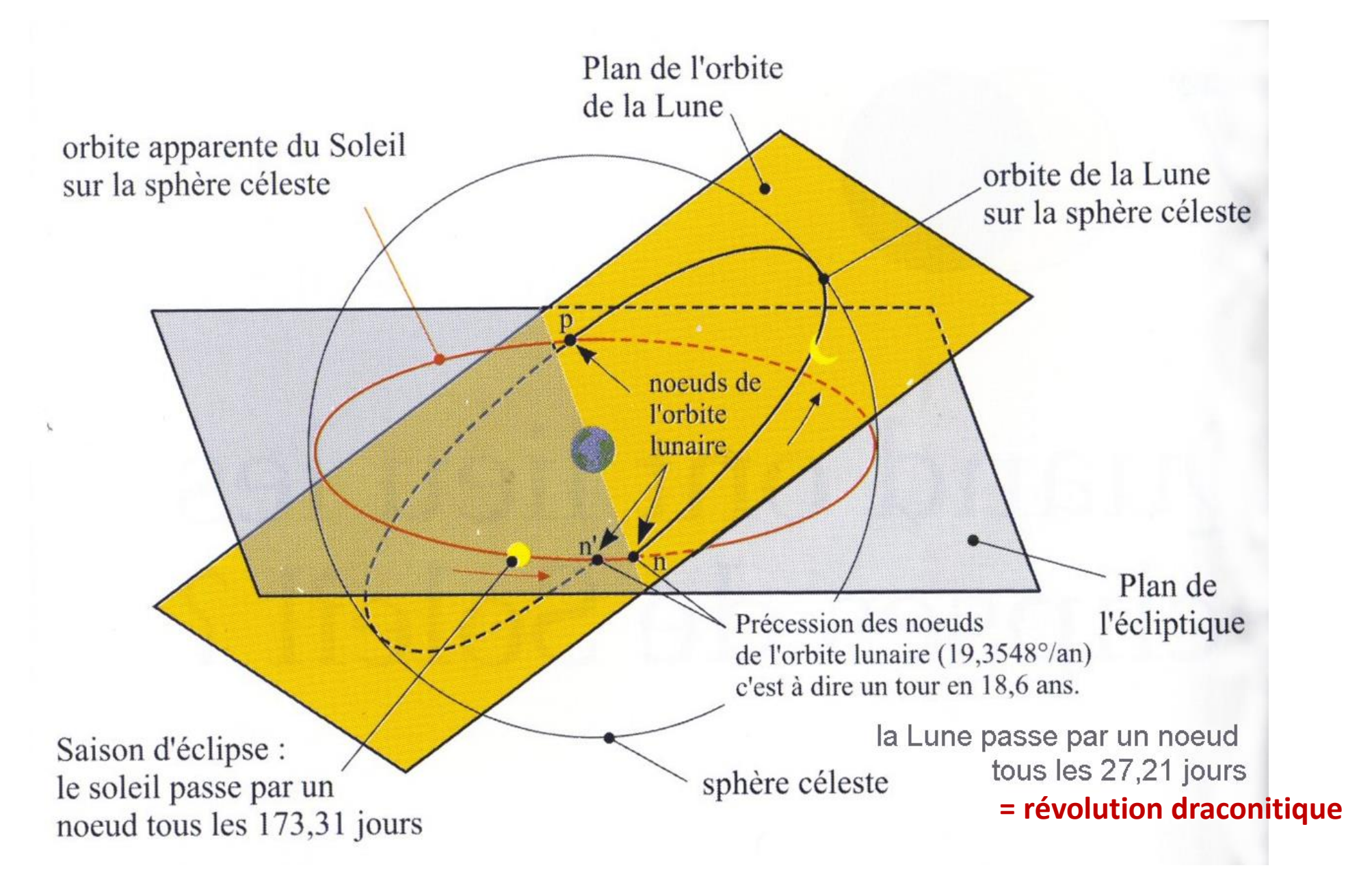
1/27,321 - 1/365,256 = 1/29,539

révolution synodique ou lunaison retour à la même phase





Sygygies: alignements Soleil Terre Lune





Sygygies: alignements Soleil Terre Lune

- alignement parfait si et seulement si:
 - le Soleil et la Lune sont sur la ligne des nœuds de l'orbite Lunaire
- Nouvelle Lune: le Soleil et la Lune ont la même longitude géocentrique
- Pleine Lune: le Soleil et la Lune ont des longitudes géocentriques différant de 180°
 - les éclipses de soleil interviennent au voisinage d'une Nouvelle Lune
 - les éclipses de Lune interviennent au voisinage d'une Pleine Lune

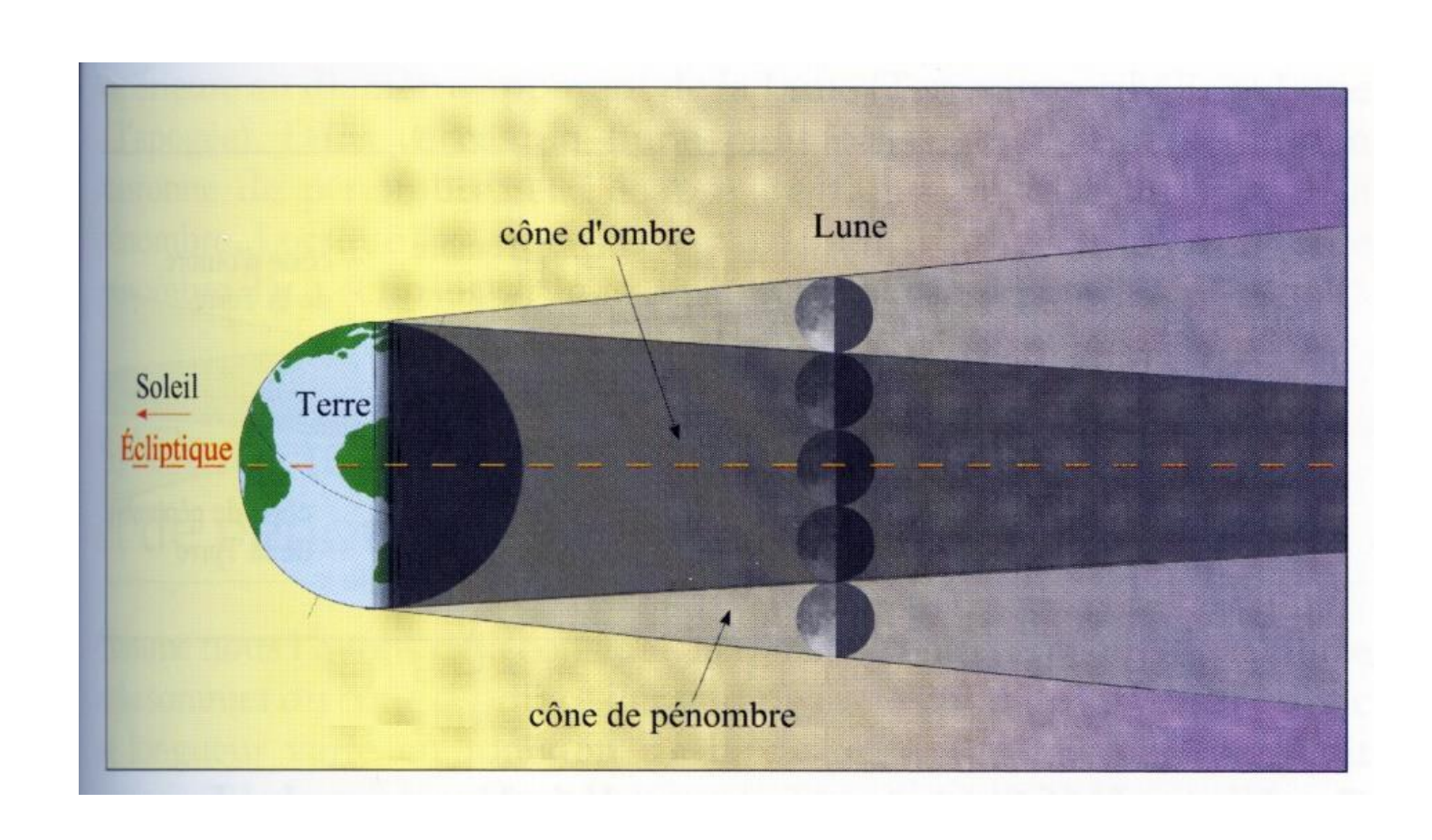
ATTENTION: les syzygies sont un phénomène global; elles n'ont rien à voir avec la rotation de la Terre: elles peuvent intervenir à n'importe quelle heure locale

le 28 septembre 2015, la Pleine Lune est à 2h50 UTC ou 4h50 locales le 28 septembre 2015, le maximum de l'éclipse est à 2h47 UTC ou 4h47 locales

pas d'éclipse à chaque NL ou PL:
 l'exigence 'ligne des nœuds' apporte aussi la contrainte en latitude

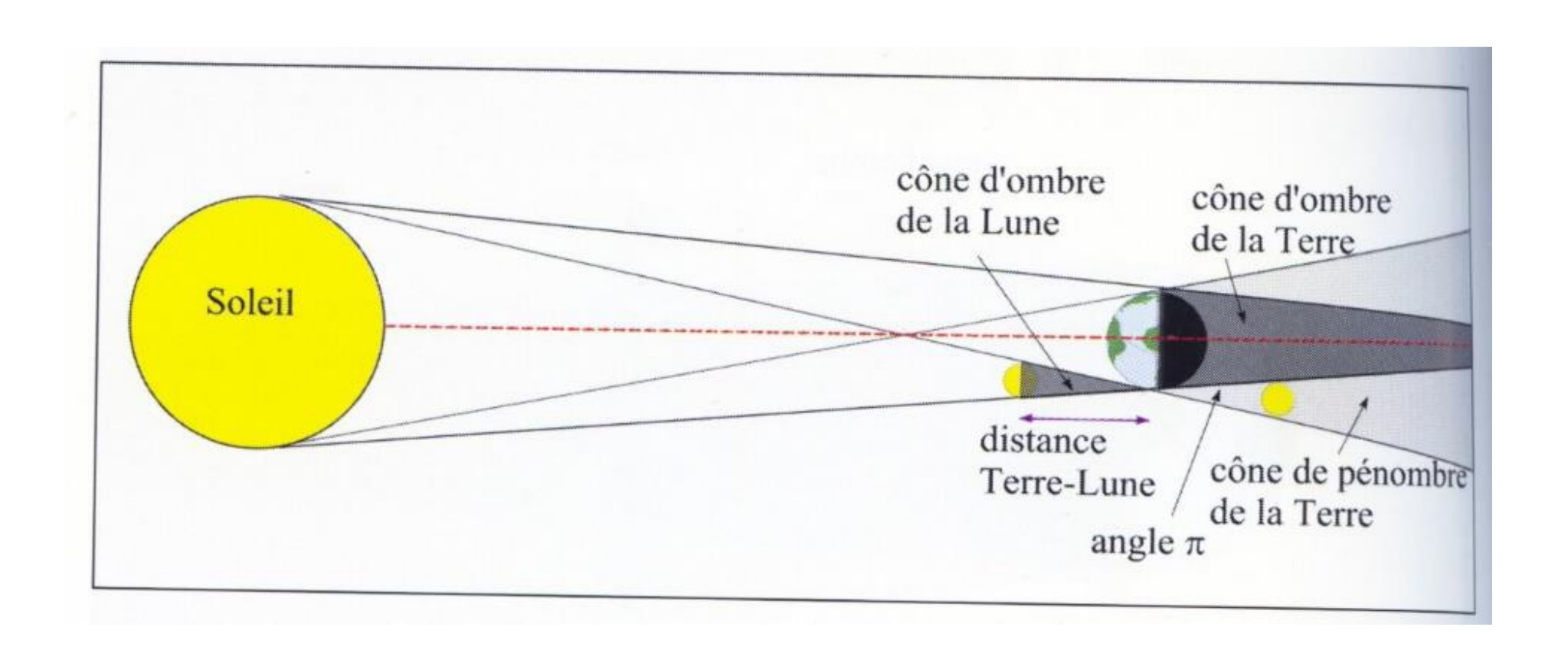


Tailles relatives de la Lune et de l'ombre de la Terre



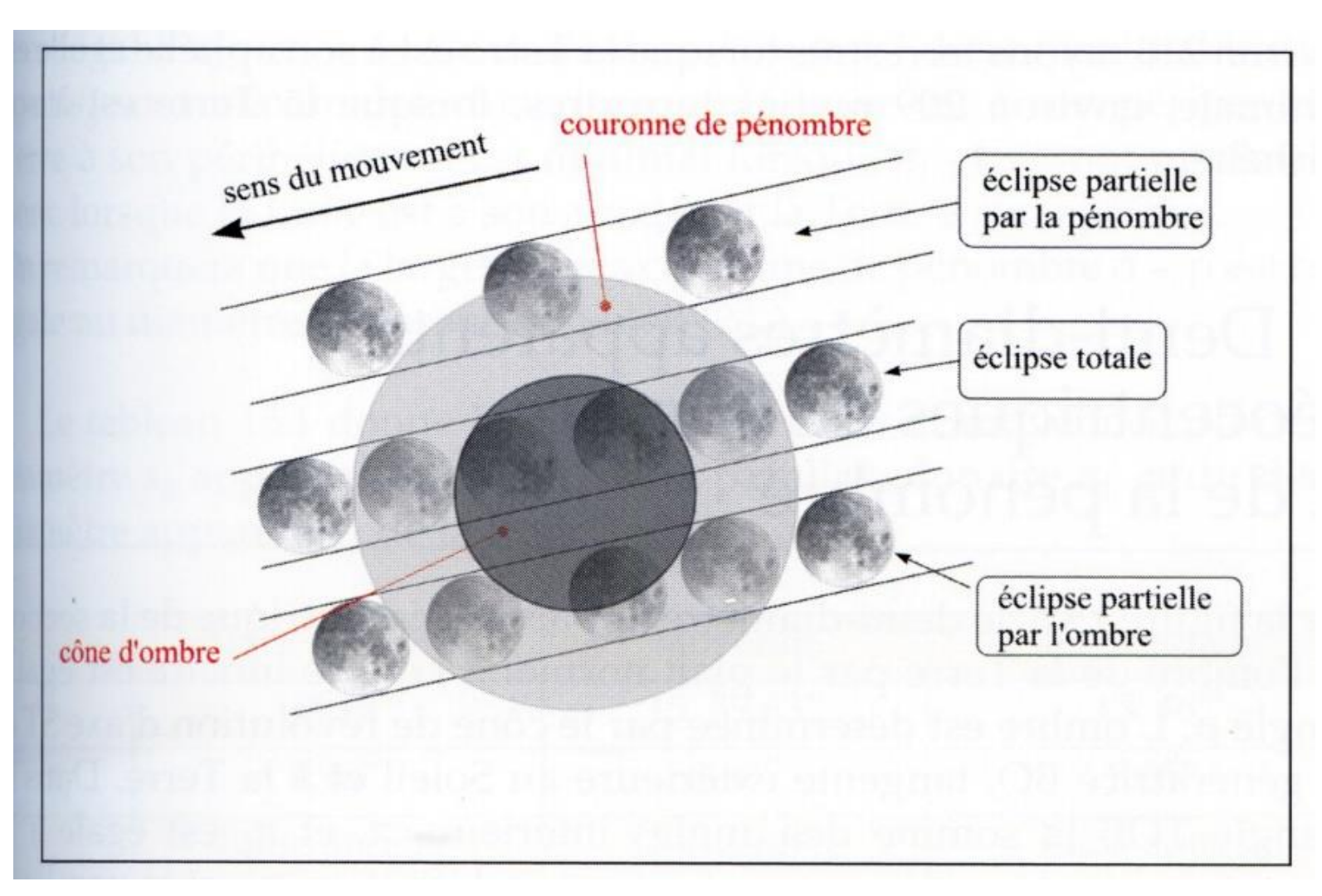


Tailles relatives de la Lune et de l'ombre de la Terre





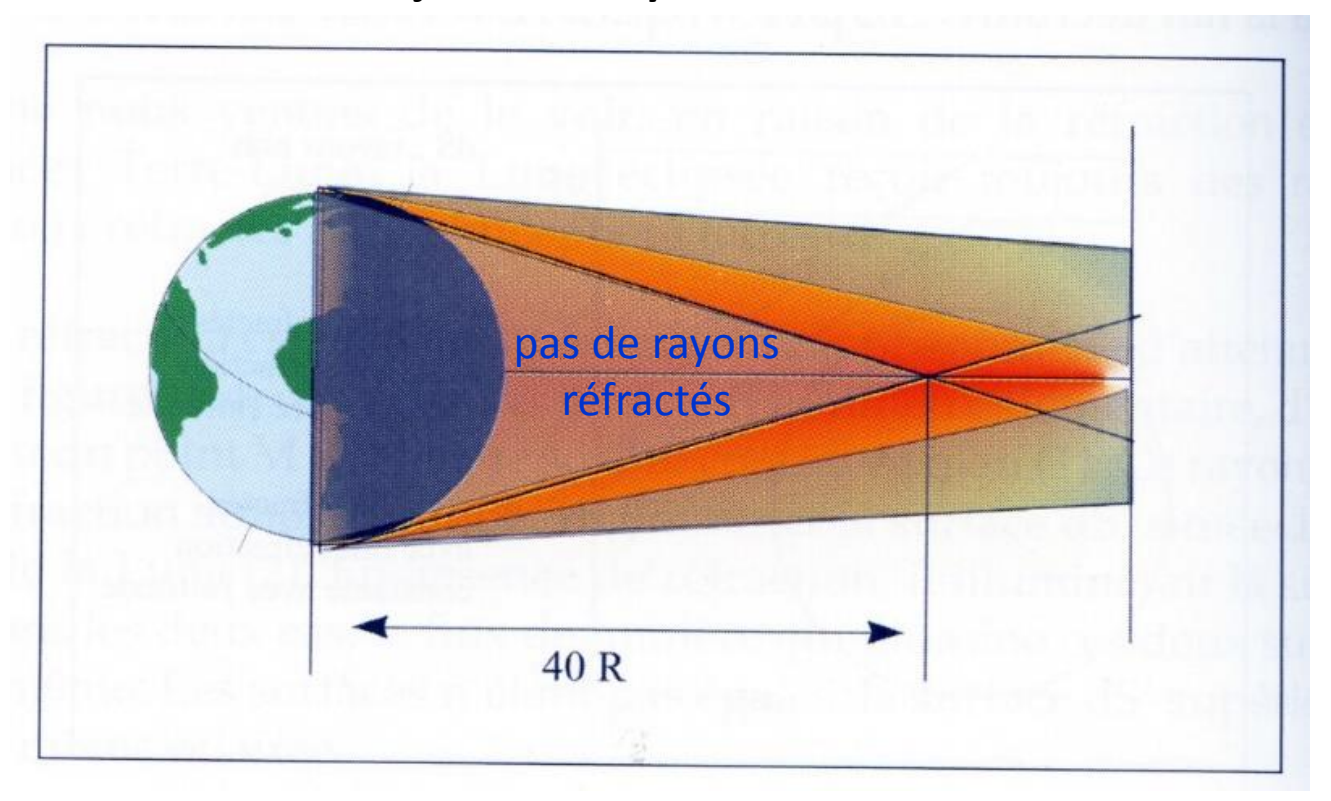
Différents types d'éclipse de Lune





Rôle de l'atmosphère la réfraction

- dans le cas des éclipses de Lune, l'astre occultant la Terre a une **atmosphère** qui **réfracte** (dévie) les rayons lumineux (effet géométrique)
 - la réfraction entraîne un léger élargissement des cônes d'ombre et de pénombre
 - la distance Terre-Lune variant entre 56 et 63 R (rayons terrestres),
 la Lune recevra toujours des rayons réfractés





Rôle de l'atmosphère: l'absorption

- l'atmosphère absorbe certaines composantes de la lumière solaire; l'absorption est très sensible à la longueur d'onde (loi en $1/\lambda^4$);

or,
$$\lambda_{\text{rouge}} \sim 650 \text{nm} > \lambda_{\text{bleu}} \sim 550 \text{ nm donc 1/} \lambda_{\text{bleu}}^4 >> 1/\lambda_{\text{rouge}}^4$$



le bleu est bien plus absorbé que le rouge

- l'absorption augmente aussi avec l'épaisseur de la couche d'atmosphère traversée
- dans le cas des éclipses de Lune, les rayons réfractés sont aussi ceux qui ont le plus long trajet dans l'atmosphère:



couleur rouge du centre de l'ombre de la Lune éclipsée



Total Lunar Eclipse of 2015 Sep 28

Ecliptic Conjunction = 02:51:38.3 TD (= 02:50:29.0 UT) Greatest Eclipse = 02:48:16.8 TD (= 02:47:07.5 UT)

Penumbral Magnitude = 2.2296 Umbral Magnitude = 1.2764 P. Radius = 1.3027° U. Radius = 0.7707° Gamma = -0.3296

 $Axis = 0.3375^{\circ}$

Saros Series = 137 Member = 28 of 81

Sun at Greatest Eclipse (Geocentric Coordinates)

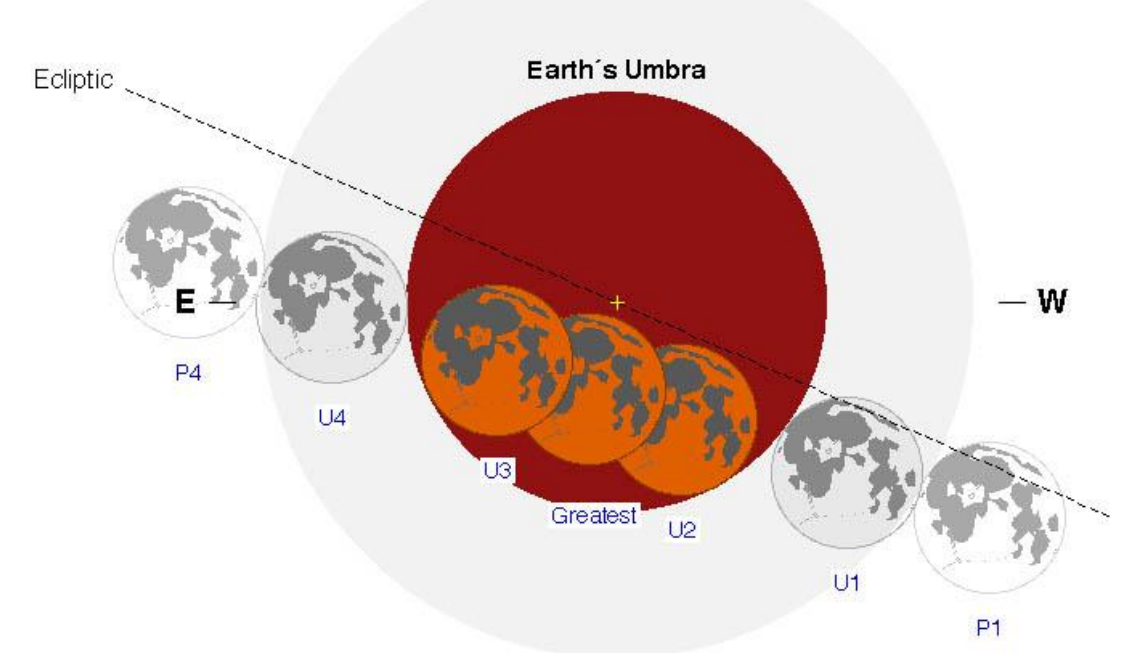
R.A. = 12h17m08.9s $Dec. = -01^{\circ}51'21.0"$ $S.D. = 00^{\circ}15'57.6''$ $H.P. = 00^{\circ}00'08.8"$

Earth's Penumbra

Moon at Greatest Eclipse (Geocentric Coordinates)

R.A. = 00h17m33.6s $Dec. = +01^{\circ}32'03.7"$ $S.D. = 00^{\circ}16'44.5''$

 $H.P. = 01^{\circ}01'26.6''$



Eclipse Durations

Penumbral = 05h10m41sUmbral = 03h19m52sTotal = 01h11m55s

 $\Delta T =$ 69 s

Rule = CdT (Danjon)

Eph. = VSOP87/ELP2000-85

S 30 45 15 Arc-Minutes

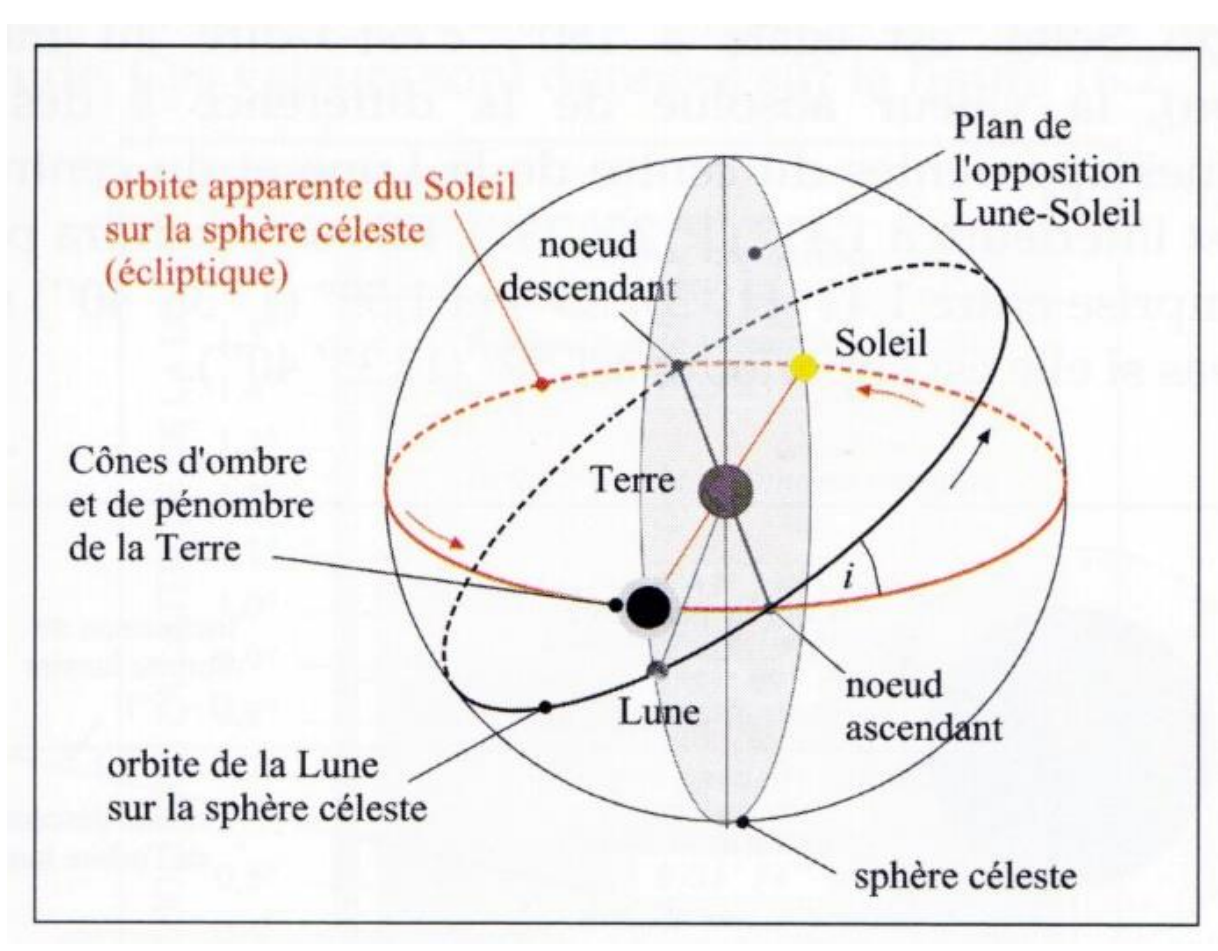
F. Espenak, NASA's GSFC eclipse.gsfc.nasa.gov/eclipse.html

Eclipse Contacts

P1 = 00:11:47 UTU1 = 01:07:11 UTU2 = 02:11:10 UT U3 = 03:23:05 UTU4 = 04:27:03 UT P4 = 05:22:27 UT



Géométrie d'une éclipse de Lune





INSTITUT DE MÉCANIQUE CÉLESTE ET DE CALCUL DES ÉPHÉMÉRIDES

Serveur d'éphémérides de l'IMCCE

Signification des paramètres calculés
 Fichier résultats au format ascii

| ###################################### | *************************************** | | | | | | | | | | | | | | |
|--|---|---|----------|-------------|--|----------|------|------------------|-------|--------|--|----|--|----------|-------------|
| # Satellite 10 Lune # Theorie planetaire INPOP13C # Coordonnees Astrometriques J2000 # Centre du repere : geocentre # Coordonnees ecliptiques (Long, Lat) # ################################### | | | | | | | | | | | | | | | |
| # Satellite 10 Lune # Theorie planetaire INPOP13C # Coordonnees Astrometriques J2000 # Centre du repere : geocentre # Coordonnees ecliptiques (Long, Lat) # ################################## | ### | ### | +###### | #### | ####### | ##### | ### | +####### | ##### | ### | +####### | ## | +############ | ######## | ####### |
| # Theorie planetaire INPOPI3C # Coordonnees Astrometriques J2000 # Centre du repere : geocentre # Coordonnees ecliptiques (Long, Lat) # ################################## | # | | | | | | | | | | | | | | |
| # Coordonnees Astrometriques J2000 # Centre du repere : geocentre # Coordonnees ecliptiques (Long, Lat) # ################################### | # S | ate | ellite 1 | O Lu | ine | | | In his | 20 | 2 | 0000 | | nooud d | ACCAN | dant |
| # Centre du repere : geocentre # Coordonnees ecliptiques (Long, Lat) # ################################## | # T | # Theorie planetaire INPOP13C Ia lune passe au noeud descendant | | | | | | | | | | | | | |
| # Coordonnees ecliptiques (Long, Lat) # ################################### | | | | | | | | | | | | | | | |
| ###################################### | | | | | | | | | | | | | | | |
| # Date UTC Long. Lat. Distance V.Mag Phase # Date UTC Long. Lat. Distance Rt. # Rt. # Rt. # Phase # Date UTC Long. Lat. Distance Rt. # Rt. | | | | | | | | | | | | | | | |
| # Date UTC Long. Lat. Distance V.Mag Phase # Date UTC Long. Lat. Distance Rt. # Rt. # Rt. # Phase # Date UTC Long. Lat. Distance Rt. # Rt. | # | | | | | | | | | | | | | | |
| # Date UTC Long. Lat. Distance V.Mag Phase # h m s | ### | ### | +###### | #### | ####### | ##### | ### | +######## | ##### | ### | +######## | ## | +############ | ######## | ####### |
| # h m s o ' " o ' " Rt. o # 27 9 2015 21 0 0.00 | 1.5 | | | | | | | | | | 20 | b | • (M. 1927) 1937 | | |
| # 27 9 2015 21 0 0.00 0 44 23.61301 +00 0 15.7218 55.959707687 -12.63 3.47 27 9 2015 21 1 0.00 0 45 1.68642 +00 0 12.1877 55.959663614 -12.63 3.46 27 9 2015 21 1 30.00 0 45 20.72316 +00 0 10.4206 55.959661634 -12.63 3.46 27 9 2015 21 2 0.00 0 45 39.75990 +00 0 8.6536 55.959614634 -12.63 3.45 27 9 2015 21 2 30.00 0 45 58.79667 +00 0 6.8865 55.959619691 -12.63 3.45 27 9 2015 21 3 0.00 0 46 17.83345 +00 0 5.1195 55.95957787 -12.63 3.45 27 9 2015 21 3 0.00 0 46 36.87025 +00 0 2.2524 55.95957890 -12.63 3.44 27 0 2015 21 4 0.00 0 46 36.87025 +00 0 2.2524 55.95957900 -12.63 3.44 27 0 2015 21 4 0.00 0 46 55.9070 +00 0 1.5854 55.959554091 -12.63 3.43 27 9 2015 21 4 0.00 0 46 55.9070 +00 0 1.5854 55.959510546 -12.63 3.43 27 9 2015 21 4 30.00 0 47 14.9438 -00 0 0.1817 55.959510546 -12.63 3.43 27 9 2015 21 5 30.00 0 47 33.98074 -00 0 0.1817 55.959510546 -12.63 3.42 27 9 2015 21 6 0.00 0 48 12.05450 -00 0 3.7158 55.959445512 -12.63 3.41 27 9 2015 21 6 30.00 0 48 12.05450 -00 0 5.4829 55.959445512 -12.63 3.41 27 9 2015 21 6 30.00 0 48 12.05450 -00 0 7.2500 55.959423909 -12.63 3.41 27 9 2015 21 6 30.00 0 48 12.05450 -00 0 7.2500 55.959423909 -12.63 3.41 27 9 2015 21 6 30.00 0 48 12.05450 -00 0 7.2500 55.959423909 -12.63 3.41 27 9 2015 21 7 0.00 0 48 50.12830 -00 0 9.0170 55.959402344 -12.63 3.40 27 9 2015 21 7 0.00 0 48 50.12830 -00 0 9.0170 55.959402344 -12.63 3.40 27 9 2015 21 7 0.00 0 48 50.12830 -00 0 9.0170 55.959380817 -12.63 3.40 27 9 2015 21 7 0.00 0 48 50.12830 -00 0 9.0170 55.959380817 -12.63 3.40 27 9 2015 21 7 0.00 0 48 50.12830 -00 0 9.0170 55.959380817 -12.63 3.40 27 9 2015 21 7 0.00 0 48 50.12830 -00 0 9.0170 55.959380817 -12.63 3.40 27 9 2015 21 7 0.00 0 48 50.12830 -00 0 9.0170 55.959380817 -12.63 3.40 27 9 2015 21 7 0.00 0 48 50.12830 -00 0 9.0170 55.959380817 -12.63 3.40 27 9 2015 21 7 0.00 0 48 50.12830 -00 0 7.2500 55.959380817 -12.63 3.40 27 9 2015 21 7 0.00 0 48 50.12830 -00 0 9.0170 55.959380817 -12.63 3.40 27 9 2015 21 7 0.00 0 48 50.12830 -00 0 7.2500 55.959380817 -12.63 3.40 27 9 2015 21 7 0.00 0 48 | | | Dat | 75 | | 1 | | | | | 100 | | Distance | V.Mag | Phase |
| 27 9 2015 21 0 0.00 0 44 23.61301 +00 0 15.7218 55.959707687 -12.63 3.47 27 9 2015 21 0 30.00 0 44 42.64971 +00 0 13.9548 55.959685632 -12.63 3.47 27 9 2015 21 1 0.00 0 45 1.68642 +00 0 12.1877 55.959663614 -12.63 3.46 27 9 2015 21 2 0.00 0 45 39.75990 +00 0 8.6536 55.959619691 -12.63 3.45 27 9 2015 21 2 30.00 0 45 58.79667 +00 0 6.8865 55.959597787 -12.63 3.45 27 9 2015 21 3 0.00 0 46 17.83345 +00 0 51.195 55.95957787 -12.63 <td></td> <td></td> <td></td> <td>h</td> <td>m s</td> <td>0</td> <td>- 2</td> <td></td> <td>0</td> <td>8 8</td> <td>' " ></td> <td></td> <td>Rt.</td> <td></td> <td>0</td> | | | | h | m s | 0 | - 2 | | 0 | 8 8 | ' " > | | Rt. | | 0 |
| 27 9 2015 21 0 30.00 0 44 42.64971 +00 0 13.9548 55.959685632 -12.63 3.47 27 9 2015 21 1 0.00 0 45 1.68642 +00 0 12.1877 55.959663614 -12.63 3.46 27 9 2015 21 1 30.00 0 45 20.72316 +00 0 10.4206 55.959641634 -12.63 3.46 27 9 2015 21 2 0.00 0 45 58.79667 +00 0 6.8865 55.959597787 -12.63 3.45 27 9 2015 21 3 0.00 0 46 17.83345 +00 0 55.95957787 -12.63 3.45 27 9 2015 21 4 0.00 0 46 17.83345 +00 0 55.95957789 -12.63 3.44 27 9 2015 21 4 0.00 0 46 55.9079 | 2000 | | | | | | | | | | | п | | | |
| 27 9 2015 21 1 0.00 0 45 1.68642 +00 0 12.1877 55.959663614 -12.63 3.46 27 9 2015 21 1 30.00 0 45 20.72316 +00 0 10.4206 55.959663614 -12.63 3.46 27 9 2015 21 2 0.00 0 45 39.75990 +00 0 8.6536 55.959619691 -12.63 3.45 27 9 2015 21 2 30.00 0 46 17.83345 +00 0 55.959597787 -12.63 3.45 27 9 2015 21 3 0.00 0 46 17.83345 +00 0 55.9595778920 -12.63 3.44 27 9 2015 21 4 0.00 0 46 55.9070 +00 0 1.5854 55.9595532300 -12.63 3.43 27 9 2015 21 4 30.00 0 47 14.9438 | 303.000 | 750 | | 0.00 | | | | | | | | П | | | |
| 27 9 2015 21 1 30.00 0 45 20.72316 +00 0 10.4206 55.959641634 -12.63 3.46 27 9 2015 21 2 0.00 0 45 39.75990 +00 0 8.6536 55.959619691 -12.63 3.45 27 9 2015 21 2 30.00 0 46 17.83345 +00 0 55.959597787 -12.63 3.45 27 9 2015 21 3 0.00 0 46 17.83345 +00 0 55.959575920 -12.63 3.44 27 9 2015 21 4 0.00 0 46 36.87025 +00 0 2 3595559575920 -12.63 3.44 27 9 2015 21 4 0.00 0 46 55.9070 +00 0 1.5854 55.9595532300 -12.63 3.43 27 9 2015 21 4 30.00 0 47 33.98074 | 175.00 | (0.7) | | | | | | | | | | П | | | |
| 27 9 2015 21 2 0.00 0 45 39.75990 +00 0 8.6536 55.959619691 -12.63 3.45 27 9 2015 21 2 30.00 0 46 17.83345 +00 0 55.959597787 -12.63 3.45 27 9 2015 21 3 0.00 0 46 17.83345 +00 0 55.959575920 -12.63 3.44 27 9 2015 21 4 0.00 0 46 55.9070 +00 0 1.5854 55.9595532300 -12.63 3.43 27 9 2015 21 4 30.00 0 47 14.94381 -00 0 0.1817 55.9595523300 -12.63 3.43 27 9 2015 21 4 30.00 0 47 14.94381 -00 0 0.1817 55.9595510546 -12.63 3.42 27 9 2015 21 5 30.00 0 47 53.01760 <td></td> <td>- 57.0</td> <td></td> <td></td> <td></td> <td>977 - 6</td> <td></td> <td></td> <td></td> <td>25</td> <td></td> <td>П</td> <td></td> <td></td> <td></td> | | - 57.0 | | | | 977 - 6 | | | | 25 | | П | | | |
| 27 9 2015 21 2 30.00 0 45 58.79667 +00 0 6.8865 55.959597787 -12.63 3.45 27 9 2015 21 3 0.00 0 46 17.83345 +00 0 55.959575920 -12.63 3.44 27 9 2015 21 4 0.00 0 46 55.9070 +00 0 1.5854 55.9595532300 -12.63 3.43 27 9 2015 21 4 30.00 0 47 14.94381 -00 0 0.1817 55.9595510546 -12.63 3.43 27 9 2015 21 5 30.00 0 47 33.98074 -00 0 3.7158 55.959488830 -12.63 3.42 27 9 2015 21 5 30.00 0 47 53.01760 -00 0 3.7158 55.959467152 -12.63 3.42 27 9 2015 21 6 0.00 0 48 12.05450 -00 0 5.4829 55.959445512 -12.63 3.41 27 9 | 50000 | 555 | | | | | | | | | | П | | | |
| 27 9 2015 21 3 0.00 0 46 17.83345 +00 0 5.1195 55.959575920 -12.63 3.44 27 9 2015 21 4 0.00 0 46 55.9070 +00 0 1.5854 55.959554091 -12.63 3.43 27 9 2015 21 4 30.00 0 47 14.9438 -00 0 0.1817 55.9595532300 -12.63 3.43 27 9 2015 21 5 30.00 0 47 33.98074 -0.0 0 3.7158 55.959488830 -12.63 3.42 27 9 2015 21 5 30.00 0 47 53.01760 -00 0 3.7158 55.959467152 -12.63 3.42 27 9 2015 21 6 0.00 0 48 12.05450 -00 0 55.959445512 -12.63 3.41 27 9 2015 21 6 30.00 0 48 | 200000 | .73 | | | | | | | | (0)(0) | | ı | | | |
| 27 0 0.015 1 0 0 46 36.87025 +00 0 2 2524 55.959554091 -12.63 3.44 27 9 2015 21 4 0.00 0 46 55.9070 +00 0 1.5854 55.959532300 -12.63 3.43 27 9 2015 21 4 30.00 0 47 14.9438 -00 0 0.1817 55.959510546 -12.63 3.43 27 9 2015 21 5 30.00 0 47 33.98074 -0.0 0 3.7158 55.959488830 -12.63 3.42 27 9 2015 21 6 0.00 0 48 12.05450 -00 0 5.4829 55.959445512 -12.63 3.41 27 9 2015 21 6 30.00 0 48 31.09139 -0 0 7.2500 55.959423909 -12.63 3.41 27 9 2015 21 7 0.00 0 | 303.777.0 | 950 | | | | | | | | | | П | | | |
| 27 9 2015 21 4 0.00 | | - | 2015 2 | 1 3 | | | | | | 370 | | J | | | |
| 27 9 2015 21 4 30.00 0 47 14.9438 -00 0 0.1817 55.959510546 -12.63 3.43 27 9 2015 21 5 30.00 0 47 33.98074 -00 0 3.7158 55.959488830 -12.63 3.42 27 9 2015 21 6 0.00 0 48 12.05450 -00 0 55.959445512 -12.63 3.41 27 9 2015 21 6 30.00 0 48 31.09139 -00 0 7.2500 55.959423909 -12.63 3.41 27 9 2015 21 7 0.00 0 48 50.12830 -00 0 9.0170 55.959402344 -12.63 3.40 27 9 2015 21 7 30.00 0 49 9.16522 -00 0 10.7841 55.959380817 -12.63 3.40 | And in case of | | | da di | | | | TOTAL CONTRACTOR | | _ | The same of the sa | ľ | | | |
| 27 9 2015 21 5 0 0 47 33.98074 -0 0 -0 0 37.158 55.959488830 -12.63 3.42 27 9 2015 21 5 30.00 0 47 53.01760 -00 0 3.7158 55.959467152 -12.63 3.42 27 9 2015 21 6 0.00 0 48 12.05450 -00 0 55.959445512 -12.63 3.41 27 9 2015 21 6 30.00 0 48 31.09139 -00 0 7.2500 55.959423909 -12.63 3.41 27 9 2015 21 7 0.00 0 48 50.12830 -00 0 9.0170 55.959402344 -12.63 3.40 27 9 2015 21 7 30.00 0 49 9.16522 -00 0 10.7841 55.959380817 -12.63 3.40 | | 200 | | 94T0 94T | | 15 17 17 | 5.57 | | | - | | | * '주', '전', '전 '전 '전 '전', '전 '전', '전' '전', '전' '전' | | T. T. T. T. |
| 27 9 2015 21 5 30.00 | - | CANADA STATE | | | AND DESCRIPTION OF THE PARTY OF | | | | - | _ | 0.181 | | | | |
| 27 9 2015 21 6 0.00 0 48 12.05450 -00 0 5.959445512 -12.63 3.41 27 9 2015 21 6 30.00 0 48 31.09139 -00 0 7.2500 55.959423909 -12.63 3.41 27 9 2015 21 7 0.00 0 48 50.12830 -00 0 9.0170 55.959402344 -12.63 3.40 27 9 2015 21 7 30.00 0 49 9.16522 -00 0 10.7841 55.959380817 -12.63 3.40 | | | | | | | | | | | 2 7150 | | | | |
| 27 9 2015 21 6 30.00 0 48 31.09139 -00 0 7.2500 55.959423909 -12.63 3.41 27 9 2015 21 7 0.00 0 48 50.12830 -00 0 9.0170 55.959402344 -12.63 3.40 27 9 2015 21 7 30.00 0 49 9.16522 -00 0 10.7841 55.959380817 -12.63 3.40 | | - 33 | | | | | | | | | | | | | |
| 27 9 2015 21 7 0.00 0 48 50.12830 -00 0 9.0170 55.959402344 -12.63 3.40 27 9 2015 21 7 30.00 0 49 9.16522 -00 0 10.7841 55.959380817 -12.63 3.40 | 1000 | - | | 100 C | | | | | | 1 | | | | | |
| 27 9 2015 21 7 30.00 0 49 9.16522 -00 0 10.7841 55.959380817 -12.63 3.40 | 977123 | - 57. | | | | | | | | 262 | | | | | |
| | | - | | | | | | | | | | | | | |
| | 27 | 9 | 2015 2 | | | | | | | | | | 55.959359328 | -12.63 | 3.39 |
| 27 9 2015 21 8 0.00 0 49 28.20216 -00 0 12.5512 55.959359328 -12.63 3.39 27 9 2015 21 8 30.00 0 49 47.23912 -00 0 14.3183 55.959337876 -12.63 3.39 | 324223 | 753 | | 300 | | | | | | | | | | | |
| 27 9 2015 21 9 0.00 0 50 6.27609 -00 0 14.3163 55.959316462 -12.63 3.38 | 7-31 | (50) | | | | | | | | | | | | | |
| 27 9 2015 21 9 30.00 0 50 6.27609 -00 0 16.0633 55.959316462 -12.63 5.36 27 9 2015 21 9 30.00 0 50 25.31308 -00 0 17.8524 55.959295086 -12.63 3.38 | | 550 | | | | 577 | 1035 | | | 20.00 | | | | | 7.0 |
| 27 9 2015 21 10 0.00 0 50 44.35008 -00 0 19.6195 55.959273748 -12.63 3.37 | 5.000 | 550 | | | | | | | | | | | | | |
| 27 9 2015 21 10 30.00 0 51 3.38710 -00 0 21.3866 55.959252447 -12.63 3.37 | | | | | | | | | | | | | | | |
| 27 9 2015 21 11 0.00 0 51 22.42413 -00 0 23.1536 55.959231184 -12.63 3.36 | | 770 | | | | | | | | | | | | | |
| 27 9 2015 21 11 0.00 0 51 22.42415 -00 0 23.1530 55.95920164 -12.65 5.36 | | 77.0 | | 0.50 (0.10) | | 100 | | | | 250 | | | | | |
| # | 352 | _ | 2010 2 | | | | _ | -21-10110 | | - | | | 22.303203303 | 12.00 | 0.00 |
| # (C) 1998-2014, EPROC 3.0 | (77) | (C) | 1998-20 | 114, | EPROC 3.0 | 0 | | | | | | | | | |

 la latitude écliptique passe de positive à négative:

l'éclipse a lieu au nœud <u>descendant</u> de l'orbite

- l'éclipse a lieu <u>après</u> le passage de la Lune au nœud, d'où la chronologie:
- 27/8 à 21h04 TU: passage au nœud
- 28/9 à 02h47 TU: maximum de l'éclipse
- 28/9 à 02h50 TU: Nouvelle Lune (conjonction)



INSTITUT DE MÉCANIQUE CÉLESTE ET DE CALCUL DES ÉPHÉMÉRIDES

Serveur d'éphémérides de l'IMCCE

(C) 1998-2014, EPROC 3.0

Signification des paramètres calculés
 Fichier résultats au format ascii

| # | | | EPH | EMERIDES DES COF | RPS DU SYSTEME SO | LAIRE | | | | |
|----------|-----|--------------|-------------------------|--|---|------------------------------|------------------|---------|--|--|
| ### | ### | ###### | ############# | ################ | | ############# | ######## | ####### | | |
| # | | | | | | | | | | |
| # S | ate | llite | 10 Lune | 1 - 414 | are are to the | | | 41 | | |
| # T | heo | rie pl | anetaire INPOP | 13C latitu | de de la Lu | ne a la co | njonc | tion | | |
| # 0 | oor | donnee | s Astrometriqu | es J2000 | | 0000 | 10011 | | | |
| # C | ent | re du | repere : geoce | ntre | (2h50mn30s TU) : - 0°20'22" | | | | | |
| # C | oor | donnee | s ecliptiques | (Long, Lat) | AND ASSESSMENT OF THE PARTY OF | | | | | |
| # | | | | | | | | | | |
| ### | ### | ###### | ############# | ############## | ++++++++++++++ | ############# | ######## | ####### | | |
| # | | | | | | | | | | |
| # | | Da | te UTC | Long. | Lat. | Distance | V.Mag | Phase | | |
| # | | | h m s | o ' " | 0 ' " | Rt. | | 0 | | |
| # | | | | | | | | | | |
| 28 | 9 | 2015 | 2 45 0.00 | 4 23 21.42203 | 하였다. 교육 대규 교육 | 5.953474493 | -12.85 | 0.34 | | |
| 28 | 9 | 2015 | 2 45 30.00 | 4 23 40.46396 | 경기 저 아래 있다는 사람이 없어지 않다. | 55.953478531 | -12.85 | 0.34 | | |
| 28 | 9 | 2015 | 2 46 0.00 | 4 23 59.50589 | 하다 : 장에 하는 이번 이번 하다면 되지고요. | 55.953482607 | -12.85 | 0.34 | | |
| 28 | 9 | 2015 | 2 46 30.00 | 4 24 18.54783 | | 55.953486721 | -12.85 | 0.34 | | |
| 28 | 9 | 2015 | 2 47 0.00 | 4 24 37.58976 | | 55.953490873 | -12.85 | 0.34 | | |
| 28 | 9 | 2015 | 2 47 30.00 | | -00 20 11.7674 | 55.953495063 | -12.85 | 0.34 | | |
| 28 | 9 | 2015 | 2 48 0.00 | | -00 20 13.552 | 55.953499291 | -12.85 | 0.34 | | |
| 28 | 9 | 2015 | 2 48 30.00 | | -00 20 15.7891 | 55.953503556 | -12.85 | 0.34 | | |
| 28 | 9 | 2015 | 2 49 0.00 | | -00 20 17 0529 | 55.953507859 | -12.85 | 0.34 | | |
| 28 | 9 | 2015 | 2 49 30.00 | 4 26 12.79940 | | 55.953512200 | -12.85 | 0.34 | | |
| 28 | 9 | 2015 | 2 50 0 00 | 4 26 31.84132 | 00 20 00 5005 | 55.953516579 | -12.85 | 0.34 | | |
| 28 | 9 | 2015 | 2 50 30.00 | | -00 20 22.3443 | 55.953520996 | -12.85 | 0.34 | | |
| 28 | 9 | 2015 | 2 31 0.00 | | -00 20 24.1001 | 55.953525451 | -12.85 | 0.34 | | |
| 28 | 9 | 2015 | 2 51 30.00 | | -00 20 25.8719 | 55.953529943 | -12.85 | 0.34 | | |
| 28 | 9 | 2015 2015 | 2 52 0.00 2 52 30.00 | | -00 20 27.6356 | 55.953534474 | -12.85 | 0.34 | | |
| 28 | 9 | | | | -00 20 29.3994 | 55.953539042 | -12.85 | 0.34 | | |
| 28 28 | 9 | 2015 2015 | 2 53 0.00 2 53 30.00 | | -00 20 31.1631 -00 20 32.9269 | 55.953543648 55.953548292 | -12.85 -12.85 | 0.34 | | |
| 32.52 | 770 | 2015 | | | 경쟁 제 하여 및 여덟 및 이라 및 (1) [1] | | | | | |
| 28 28 | 9 | 2015 | 2 54 0.00 2 54 30.00 | - 15 TAR TARREST TO STATE OF THE STATE OF TH | -00 20 34.6906 -00 20 36.4543 | 55.953552974 55.953557693 | -12.85 -12.85 | 0.34 | | |
| 28 | 9 | 2015 | 2 55 0.00 | | -00 20 38.2180 | 55.953562451 | -12.85 | 0.34 | | |
| 28 | 9 | 2015 | 2 55 30.00 | | -00 20 39.9817 | 55.953567246 | -12.85 | 0.35 | | |
| 28 | 9 | 2015 | 2 56 0.00 | | -00 20 41.7454 | 55.953572079 | -12.85 | 0.35 | | |
| 28 | 9 | 2015 | 2 56 30.00 | (전 - '전')로 (전') (전 - '전') - (전 - '(T')) - (전 - '(T')) - (전 - '(T')) - ((T')) - (| -00 20 43.5090 | 55.953576950 | -12.85 | 0.35 | | |
| | | 2010 | _ 50 55.05 | . 00 05.00024 | 00 20 10.0000 | 22.3000,0300 | 12.00 | 0.00 | | |

si latitude Lune à la conjonction inférieure à 21'36"

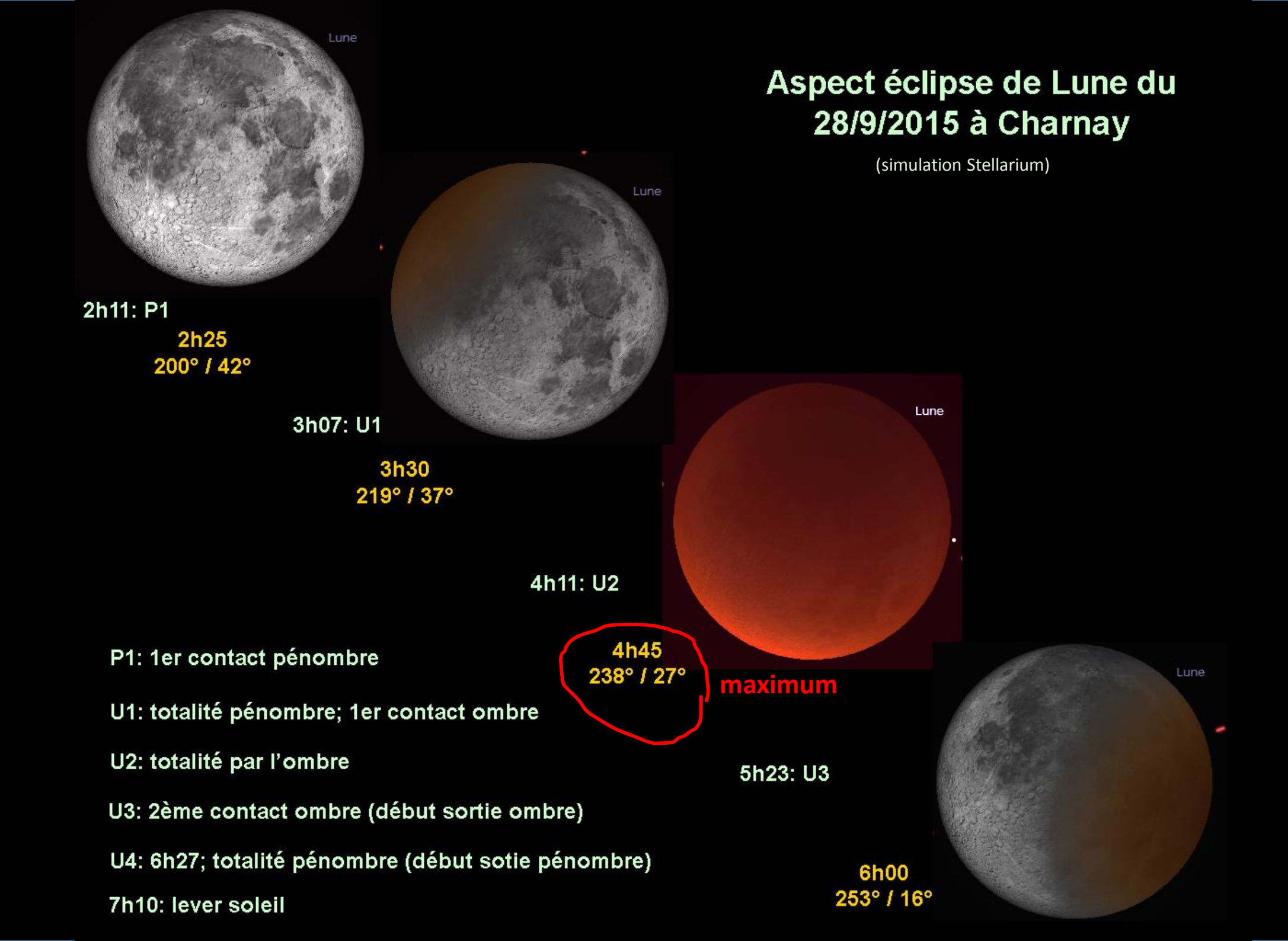
ALORS

éclipse de Lune certaine



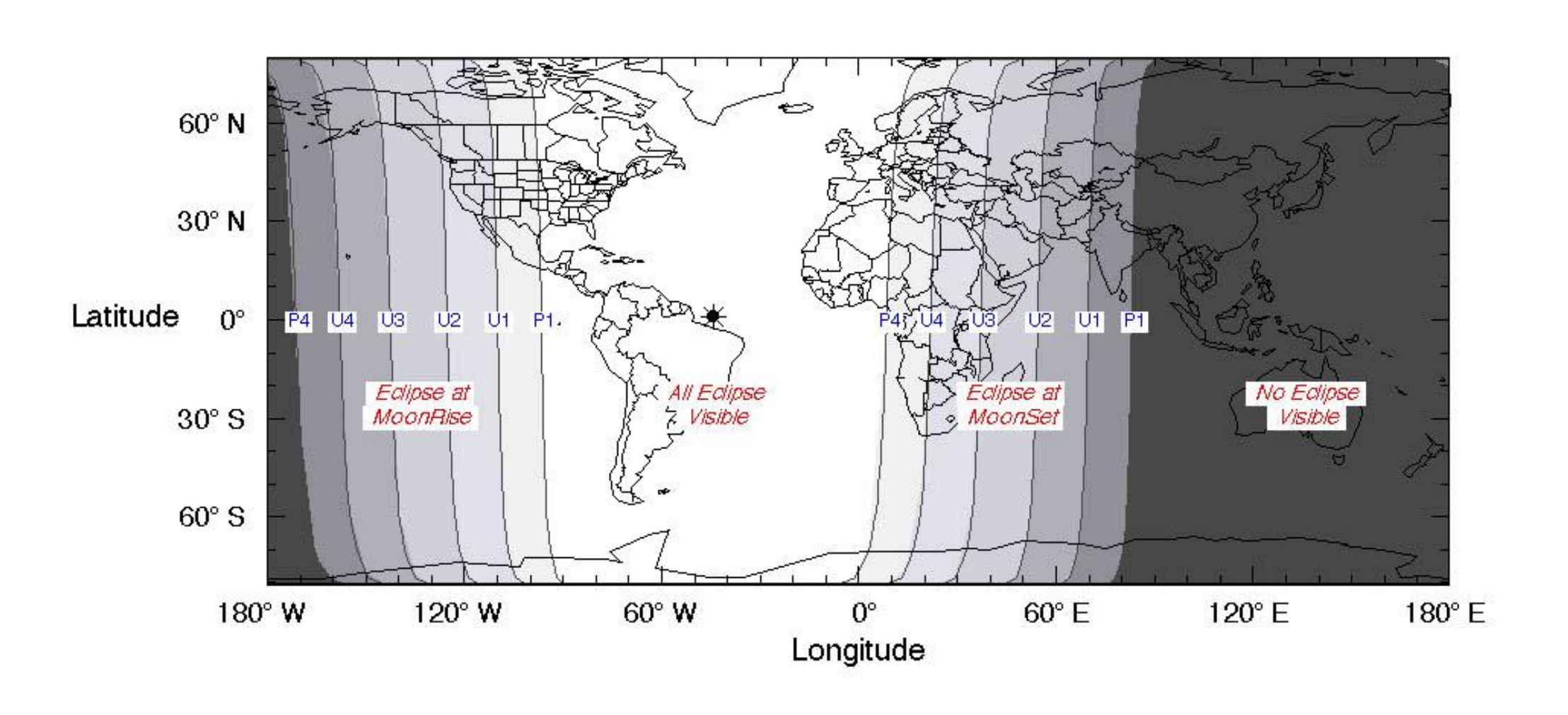
critère en latitude satisfait



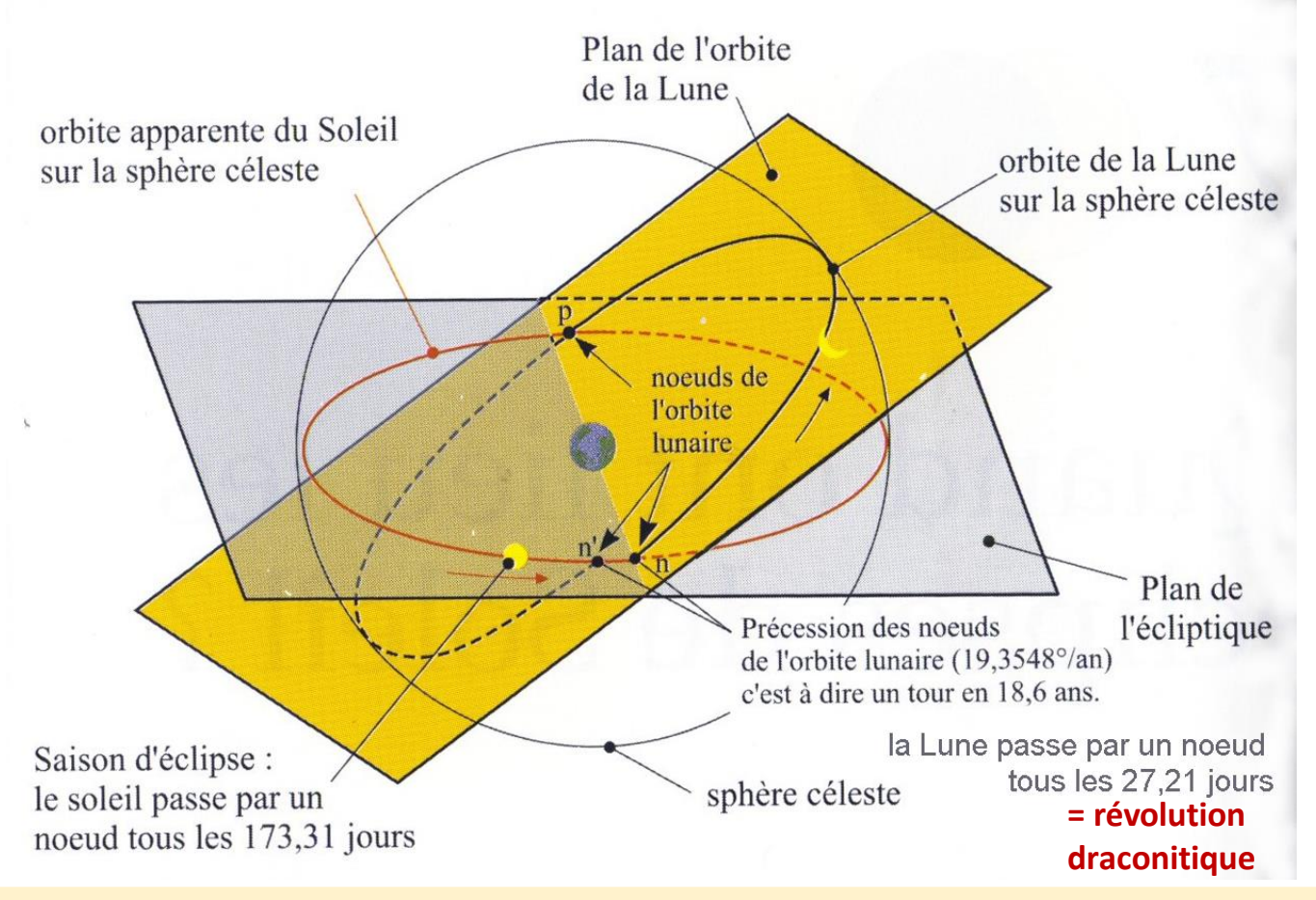




Visibilité de l'éclipse de Lune du 28 septembre 2015







- le soleil parcourt: 360,008°/an
- le nœud lunaire tourne (en sens inverse) de: 19,355°/an

si T la période qui ramène le Soleil au <u>même</u> nœud, alors:

 $360,008 \cdot T + 19,355 \cdot T = 360$ \rightarrow T = 0,946 an soit 346j 14h

donc tous les **173j 7h**, le Soleil passe par <u>un</u> nœud lunaire : c'est la **saison des éclipses**



J

J + 14

J + 29

6 ou plus rarement 5 lunaisons si éclipse de Soleil à la Nouvelle Lune

alors <u>éclipse de Lune</u> possible à la pleine Lune.

2 éclipses (une Soleil, une Lune) consécutives à une demi-lunaison d'écart

Le critère de latitude (environ 30°) est « souple.

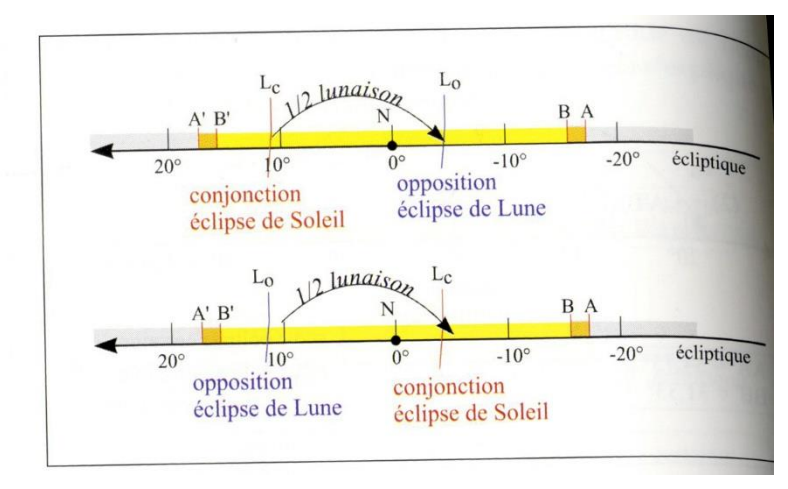
or le soleil ne parcourt que \sim (360°/365) . 29 < 30° en un mois lunaire

la lune « a le temps » de revenir au même nœud avant que le Soleil ne sorte de la plage favorable.

 \longrightarrow

si une éclipse du Soleil a eu lieu « bien avant » un nœud, une seconde éclipse peut avoir lieu au même nœud à la lunaison suivante

Conjonction et opposition au voisinage du nœud avec un doublet d'éclipses.



au même nœud, au moins deux éclipses, et au plus trois

puis le soleil a atteint le nœud suivant. Une nouvelle saison d'éclipses commence

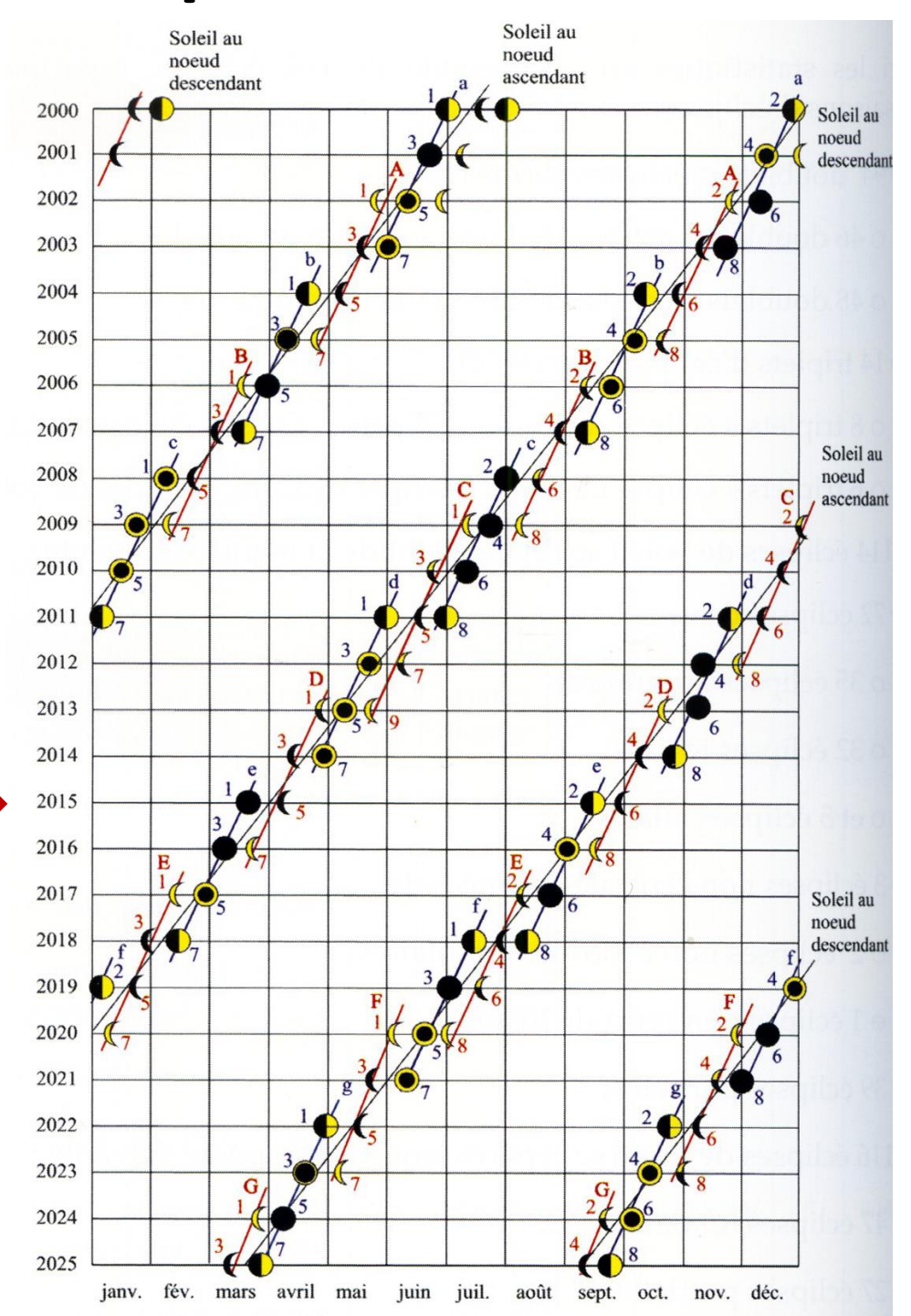
J + 173



les saisons d'éclipses dérivent au fil des ans

2015 —

- le 20 mars, éclipse totale de Soleil
- le 4 avril, éclipse totale de Lune
- le 13 septembre, éclipse partielle de Soleil
- le 28 septembre, éclipse totale de Lune





| | 1 |
|--|---|
| | ı |
| | ı |
| | , |

si <u>éclipse de Soleil ES1</u> à la Nouvelle Lune

J + 14

demi-lunaison

Pleine Lune: alors <u>éclipse de Lune</u> possible à la pleine Lune.

J + 29

lunaison

éclipse de Soleil possible.

6 lunaisons

J + 173

1ère saison d' éclipses (autre nœud que ES1)

nouveau cycles d'éclipses – potentiellement très différentes de ES1

J + 346

2^{ème} saison d'éclipses (même nœud que ES1) nouveau cycles d'éclipses – potentiellement très différentes de ES1

222 saisons

J + 6585

saros

éclipse de « forme » analogue à ES1 - mais décalée en longitude

(~18 ans)

J+19755

exeligmos

éclipse semblable à ES1

(~54 ans)



Bibliographie

IMCCE, Le Manuel des éclipses, EDP Sciences, Paris, 2005 Stellarium